

## به سازی مکانی برای دریافت سیگنال از آنتن فرآپهن باند در ترانسفورماتور قدرت بر پایه دنیاگرد

بن کرم پژامانی<sup>\*</sup> ای نادری، گلورگ قره پستان و<sup>\*</sup>

دانشکده مهندسی برق، دانشگاه صنعتی امیر کبیر، تهران، ایران

دانشکده مهندسی برق، دانشگاه کاشان، کاشان، ایران

پژوهشکده بهره برداری و امنی شبکه، دانشگاه صنعتی امیر کبیر، تهران، ایران

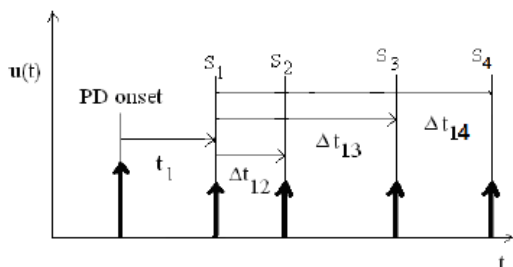
واژه‌ای کلمه‌ی آنتن UWB، نرم افزار CST، مکانیکی<sup>\*</sup>؛ روش TDOA

قدرت می‌تواند هزه ای گرافم را برای شبکه برق داشته باشد ترانسفورماتور و نگهداری و تعمیر را! آن اهمیت زیادی برای شرایط اولیه دارد [1]. یک ترانسفورماتور قدرت بک از مهمترین عملکردهای مطمئن این واحد در شبکه است بف بودن سه ممکن است منجر به زمه سازی خروج ترانسفورماتور از خطاهای خارج بر حالت گلزاری کلیدزن‌ها، برخورد صاعقه و اتصال کوتاه. از این رو برای عملکرد مطمئن و اقتصادی، دست دقیق به اطلاعات وضعیت بار اهمیت دارد. با اینکه آن است که تحمل ای PD (Partial Discharge) از مهمنتر است [2]. اگر خرابی ای از تحمل در زمان ای اول بس داده شود می‌توان برای برات پر برانه اتفاق مناسب کرد اما به دلیل ساختار پی بهده ترانسفورماتور، ای قدرت، بس محل دقیق به صورت برخط بار دشوار بوده و بک از مشکلات شبکه ای قدرت است [3]. امروزه روش‌های الکترونیک و مخابراتی برای ارائه شده است [4]. در روش‌های الکترونیک به دلیل ساختار اتفاقات ترانسفورماتور، و بدنه بودن مشخصات مورد نظر از سه ترانسفورماتور، این هدف با مشکلات زیادی روبرو است.

**چکیده**  
مکانیلایبی محل دقیق عیب با توجه به قیمت ترانسفورماتور و مشکلات تعمیر و نگهداری از آن اهمیت دو چندان می‌باشد. استفاده از امواج فرآپهن باند (Ultra Wide Band) UWB یک روش جدید برای مکان‌یابی تخلیه جزئی در ترانسفورماتورهای قدرت است که بر اساس قرار گرفتن آنتن‌ها به صورت لوزی شکل انجام می‌شود. اولین گام به منظور یافتن محل عیب در ترانسفورماتور واقعی، ایجاد یک محیط شبیه سازی مناسب است قبل از آزمایشات عملی بتوان تحلیل بهتری از این آزمایشات بدست آورده. بدین منظور در این مقاله یک ترانسفورماتور قدرت در نرم افزار CST شبیه سازی سه بعدی شده و محل عیب با استفاده از روش TDOA (Time Difference Of Arrival) مکانیکی شده است. نتایج نشان می‌دهد که این نرم افزار برای تعیین محل عیب با استفاده از آنتن‌های UWB و روش TDOA

ترانسفورماتور، ای قدرت در سیستم انتقال و توزیع برق نقش اساسی ای ایکنده و بت اطمینان آنها بر روی عملکرد اقتصادی و قابلیت اطمینان شبکه تاثیر زیادی دارد. تلفات ترانسفورماتور، ای

که در بک نقطه، پالس جریان از تخلیه ایجاد می‌شود، بر اثر این شارش بار، سیگنال الکترومغناطیسی در طی اطراف پراکنده می‌شود. این انتشار از معادلات ماکسول تعیین کند. بگنال ای UWB منتشر شده را می‌توان با استفاده از آتن، که در تانک ترانسفورماتور گذاشته شده است در آنکه زمان انتشار سیگنال از منبع تخلیه به آتن‌ها را نمی‌توان کرد، زمان انتشار سیگنال از منبع تخلیه به آتن‌ها را نمی‌توان بص داد اما اختلاف زمان بگنال رسیده به بک جفت آتن کمک می‌کند تا با بک معادله‌ها بک می‌توان محل عیب را بر این روش TDOA بص داد، با وجود چهار آتن، سه معادله بک تشکیل شود که در بک نقطه تقاطع دارند. این تفاوت زمان‌ها برای بک سیگنال، در شکل بصورت شماتیک برای چهار آتن نمایش داده شده است.



شکل : پیش‌تفاوت زمان، ای رسیدن سیگنال از محل عیب به آتن،

در روش TDOA معادلات بک به صورت زیر است

$$(c * t_1)^2 = (x - x_1)^2 + (y - y_1)^2 + (z - z_1)^2 \quad (1)$$

$$(c * (t_1 + \Delta t_{12}))^2 = (x - x_2)^2 + (y - y_2)^2 + (z - z_2)^2 \quad (2)$$

$$(c * (t_1 + \Delta t_{13}))^2 = (x - x_3)^2 + (y - y_3)^2 + (z - z_3)^2 \quad (3)$$

$$(c * (t_1 + \Delta t_{14}))^2 = (x - x_4)^2 + (y - y_4)^2 + (z - z_4)^2 \quad (4)$$

در این معادله  $c$  بانگر سرعت نور در محیط و  $\Delta t_{12}$  و  $\Delta t_{14}$  بانگر اختلاف زمان بگنال رسیده از محل عیب به آتن اول نسبت به سیگنال رسیده به آتن، ای رسیده مکان، ای آتن‌ها که با  $S_1$   $S_2$   $S_3$  و  $S_4$  می‌باشد.

بک به صورت  $(x_1, y_1, z_1)$   $(x_2, y_2, z_2)$   $(x_3, y_3, z_3)$  و  $(x_4, y_4, z_4)$  پیش داده می‌شود. مکان عیب در ابتدا به صورت نامشخص است و به صورت  $(x, y, z)$  پیش داده می‌شود و سیگنال با زمان  $t_1$  نامشخص به اولین آتن رسیده.

استفاده از امواج رادیویی به صورت یک اصل و قانون معتبر در استاندارد بین المللی اندازه گیری بح داده شده است [۱]. مکان استفاده از بگنال ای الکترومغناطیسی منتشر شده از منبع تخلیه و دقیق بالای آن، در سال ای اخیر بک از زمین ای مورد علاقه محققین در مونیتور؛ ترانسفورماتور شده است. شکل موج ناشی از سیگنال ای در حوزه زمان حاوی اطلاعات مفیدی از نوع و محل در قطعات بخصوص ترانسفورماتور، ای قدرت است. با استفاده از آتن، ای (UWB) Ultra Wide Band امکان دستیابی به شکل موج پالس تخلیه در حوزه زمان فراهم می‌شود [۲].

از لحظه عمل در سطح جهان کارهای زیادی برای مکانیزه بک با آتن، ای UWB انجام شده است [۳] اما به دلیل اینکه قبل از آزمایشات عمل دیدگاه کامل از شرایط یامده است، بب روپرورد شده است. این خطاهای را می‌توان با بک شبیه سازی مناسب قبل از انجام آزمایش آوردن چگونه آتن، کاهش داد. بنابراین این ای ای شبیه سازی مناسب امری مهم و مورد نیاز به حساب می‌آید.

بک ترانسفورماتور قدرت و جربان تخلیه پیش‌موج و پس‌موج ای متفاوت به صورت سه بعدی سازی شده و محل عیب با استفاده از سیگنال ای منتشره محاسبه می‌شود. در این راستا، ابتدا روش TDOA (Time Difference Of Arrival) که بک روش معمول برای بگنال ای رسیده به آتن، بح داده خواهد شد. الکترومغناطیسی از سیگنال تخلیه و تعیین مشخصات نمونه مورد مطالعه، نتایج سازی، پیش‌داده، شود. CST (Computer Systems Technology) بحسب آمده، نرم افزار در سه ترانسفورماتور با استفاده از آتن، ای UWB بار مفید و می‌توان در آینده برای کردن set up آتن‌ها بدون نیاز به آزمایش مورد استفاده قرار داد.

## بگناال الکترومغناطیس در

### از تخلیه

آزمایشات عملی و تحلیلی ای تئوری بلنگر آن است که جریان

دارای زمان اوج (rise time) بار سریع

بان تخلیه را به صورت عددی توان با معادله گوس

صورت زیر مدل کرد [ - ]

$$i(t) = I_0 \exp\left[-\frac{(t-t_0)^2}{2\sigma^2}\right] \quad (1)$$

که در معادله فوق  $I_0$ : دامنه جریان،  $t_0$ : زمان اولیه و  $\sigma$ : پارامتر

مشخصه شکل موج است که پهنای پالس در نصف مقدار ماکر (Pulse Width at Half Maximum) بان

PWHM را تعیین کند. پارامتر PWHM

برابر  $2.36\sigma$  بود که بیانگر رابطه نزدیک بین قدرت

و شکل هندسی شکاف تخلیه (PD gap)

عموماً بب کمتر باشد، شبیه شکل موج

و زمان اوج کمتر می‌شود. در نتیجه پارامتر مشخصه  $\sigma$

کوچکتر می‌شود [ ]. از این رو، برای درک بیشتر وضع

ایجاد شده، پارامتر مشخصه  $\sigma$  در شکل موج جریان کمک زیادی اینکند.

بل فوریه از ( ) توان معادله حالت فرکانس

بان تخلیه را بدست آورد:

$$I(j\omega) = \sqrt{2\pi} I_0 \sigma \exp\left[-\frac{\sigma^2 \omega^2}{2}\right] \exp(-j\omega t_0) \quad (2)$$

که در این معادله  $\omega$ : زاویه فرکانس . . . بان پالس

را می‌توان به صورت بک سریع

. بگناال الکترومغناطیس منتشر شده را می‌توان با بک آنتن

دان (dipole) مدل سازی کرد که بر حسب قطر هندسی ای

طول این آنتن (1) بشود. بان متغیر با زمان

مربوطه را می‌توان به صورت زیر بان کرد:

$$I = I(j\omega) \cos \omega t \quad (3)$$

دامنه میدان منتشر شده در نقاط دور (far field)

تئوری آنتن‌ها به صورت زیر است:

$$e_k \propto I_0 \omega \sigma \exp\left(-\frac{\sigma^2 \omega^2}{2}\right) \quad (4)$$

ف فرکانس بگناال منتشر شده با رابطه زیر

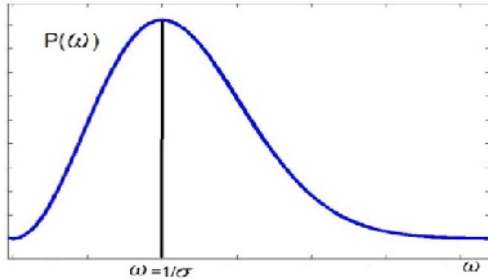
ارتباط دارد:

$$p(\omega) \propto \left(\frac{I_0 \omega \sigma}{c}\right)^2 \exp(-\sigma^2 \omega^2) \quad (5)$$

نمودار طیف فرکانس  $P(\omega)$  در شکل نشان داده شده است از ( ) و شکل

$\frac{1}{\sigma}$  در  $P(\omega)$  رخ می‌دهد، بنابراین از

باقی آنالیز فرکانس بگناال الکترومغناطیس از تخلیه بنزد می‌شود.



شکل ۱: نمودار طیف فرکانس بگناال

### نمونه مورد مطالعه

بدان ای الکترومغناطیس براساس معادلات ماکسول انجام می‌شود. به این منظور، نرم افزار CST مورد استفاده قرار گرفته است. این نرم افزار قابلیت بدان ای الکترومغناطیس گذرا در دو حالت زمانی و فرکانسی با تکنیک انتگرال ای محدود را دارد، این تکنیک، فضای مورد مطالعه را به نواحی کوچک تقسیم کرده و با مشاهده می‌توان معادلات را حل کرد [ ].

همانطور که بدان شد، استفاده از آنتن ای UWB بک روش برای تورینگ بر خط ترانسفورماتور می‌باشد. اما به دلیل محدودیت سخت افزاری و نرم افزاری، سازی بک ترانسفورماتور قدرت با اندازه ای واقع آن امکان ندارد. درجه اندازه ای مدل را در ضرب می‌شود، مشخصات ترانسفورماتور مورد استفاده در این مقاله از [ ] استخراج شده و در جدول ارائه شده است. به منظور ساده سازی مدل، تعداد لایه در جدول ارائه شده است. به منظور ساده سازی مدل، تعداد لایه، تعداد کوپلینگ و فاصله بین کوپلینگ متر در نظر گرفته شده است.

### شکل ۲: ای کله هسته و شکل

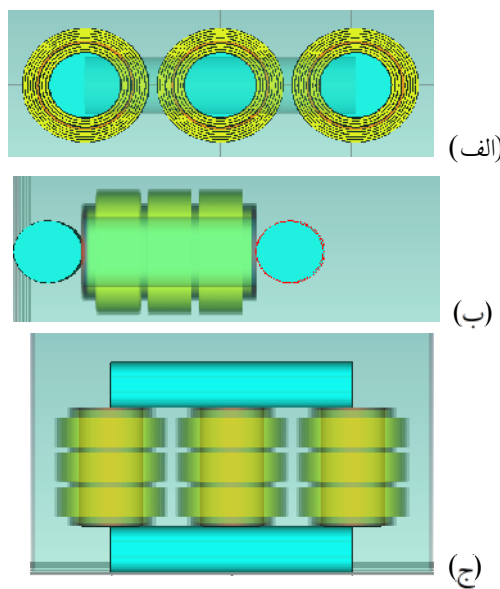
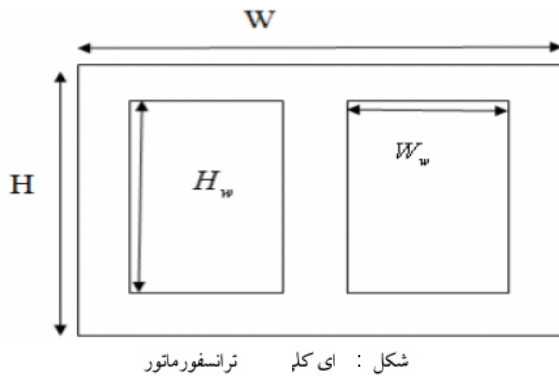
ترانسفورماتور را در نرم افزار CST نشان می‌دهد.

روغن بک از عوامل تاثیرگذار در تشخیص

با استفاده از امواج الکترومغناطیس است [ ]. در روغن و کاغذ آغشته به روغن، پاسخ مواد به میدان ای خارجی، برخلاف پاسخ در

به فرکانس میدان اعمال دارد، این وابستگی به فرکانس این واقعیت را دارد که پاسخ مواد قطیع بدان بگساند.

بن دلیل ثابت دی الکتریک مواد به صورت بک تابع مختلط از فرکانس میدان اعمال  $\omega$  بان می‌باشد ( $\epsilon(\omega) \rightarrow \epsilon$ ).



شکل ۱: ترانسفورماتور سازی شده در CST از نمای: x-z(x-y) (ب) (ج)

ثابت دی الکتریک روغن و کاغذ آغشته به روغن در شبیه سازی مورد مطالعه با اندازه گیری مشخصات روغن ترانسفورماتور واقع بدست آمده و به ترتیب در جدول و آورده شده است [۲].

### - نتایج شبیه سازی

برای به سازی بان تخلی در نرم افزار CST بک پورت گسسته (discrete port) به عنوان منبع تخلی دامنه آمپر [۳] استفاده شده است. بر در زمان اوج بان تخلی بر در فرکانس ای موجود در سیگنال منتشر شده از محل عرضشود، هر چه زمان اوج کمتر باشد فرکانس ای از طریق آنتن دریافت خواهد شد. برای نشان دادن تاثیر زمان اوج، به سازی در نمونه انجام شده است که

این نکته، پاسخ مواد به میدان ای بان می‌شود. به طور معمول قسمت حقیقتی و موهوم این ثابت را مجزا و به صورت زیر دهنده دارد:

$$\epsilon(\omega) = \epsilon'(\omega) + j\epsilon''(\omega) \quad (1)$$

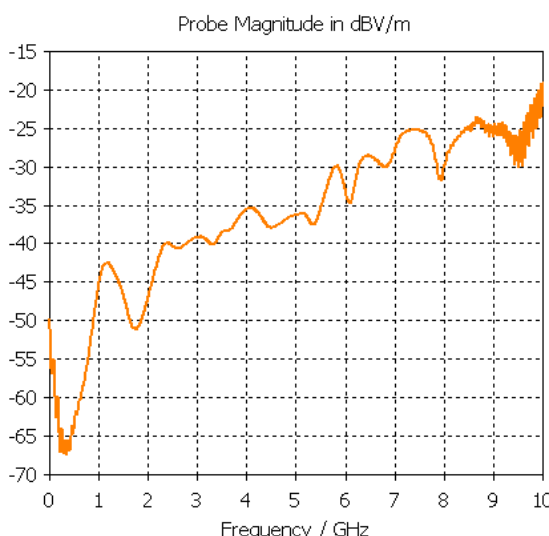
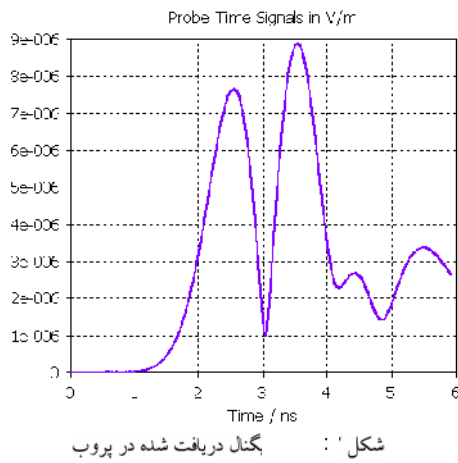
ثابت دی الکتریک است که مرتبط با تلفات انرژی در ماده باشد و ثابت دی الکتریک است که مرتبط با انرژی ذخیره شده در ماده است.

جدول : مشخصات ترانسفورماتور مورد استفاده در شبیه سازی

تعداد فازها	
ستون	ستون
جنس بدن تانک	ستون
(H <sub>w</sub> ) ارتفاع داخل پنجه	mm
(W <sub>w</sub> ) عرض داخل پنجه	mm
(H) ارتفاع خارج پنجه	mm
(W) عرض خارج پنجه	mm
وک	mm
ارتفاع تانک	mm
عرض تانک	mm
طول تانک	mm
کاغذ آغشته به Mاده عای و L.V. یا H.V. ای	روغن
L.V. و H.V. عرض عای	mm
L.V. و H.V. عرض داکت پر	mm
H.V. ارتفاع	mm
H.V. قطر خارج	mm
H.V. قطر داخل	mm
بن کوی	mm
H.V. عرض عای ای	mm
تعداد کوی ای H.V.	
H.V. ارتفاع	mm
L.V. خارج	mm
L.V. قطر داخل	mm
L.V. ماده عای ای	پرس بورد
L.V. عرض	mm
L.V. ماده عای و هسته	پرس بورد
L.V. عرض و هسته	mm



سیگنال مستقیم بین پورت تخلیه جزئی و این پرورب‌ها علاوه بر این که طولانی‌ترین سیگنال است، از مواد مختلفی عبور می‌کند که باعث بزرگتر شدن خطای شود.



شکل ۳: یک نمونه از سیگنال رسیده شده به پرورب را در حوزه فرکانس (در زمان اوج (برای فرکانس ای

$$dB \frac{V}{m}$$

شکل ۴:

۱	۲	۳	۴
۵	۶	۷	۸
۹	۱۰	۱۱	۱۲
۱۳	۱۴	۱۵	۱۶
۱۷	۱۸	۱۹	۲۰
۲۱	۲۲	۲۳	۲۴
۲۵	۲۶	۲۷	۲۸
۲۹	۳۰	۳۱	۳۲
۳۴	۳۵	۳۶	۳۷
۳۹	۴۰	۴۱	۴۲
۴۴	۴۵	۴۶	۴۷
۴۹	۵۰	۵۱	۵۲
۵۴	۵۵	۵۶	۵۷
۵۹	۶۰	۶۱	۶۲
۶۴	۶۵	۶۶	۶۷
۶۹	۷۰	۷۱	۷۲
۷۴	۷۵	۷۶	۷۷
۷۹	۸۰	۸۱	۸۲
۸۴	۸۵	۸۶	۸۷
۸۹	۹۰	۹۱	۹۲
۹۴	۹۵	۹۶	۹۷
۹۹	۱۰۰	۱۰۱	۱۰۲

جدول ۱: به سازی

زمان اوج (ns)	اختلاف زمان (ns)			ای مکان ع (mm)			ای مکان واقع (mm)		
	$\Delta t_{12}$	$\Delta t_{13}$	$\Delta t_{14}$	-	-	-	-	-	-
۱	۱	۱	۱	-	-	-	-	-	-
۲	۱	۱	۱	-	-	-	-	-	-
۳	۱	۱	۱	-	-	-	-	-	-
۴	۱	۱	۱	-	-	-	-	-	-
۵	۱	۱	۱	-	-	-	-	-	-
۶	۱	۱	۱	-	-	-	-	-	-
۷	۱	۱	۱	-	-	-	-	-	-
۸	۱	۱	۱	-	-	-	-	-	-
۹	۱	۱	۱	-	-	-	-	-	-
۱۰	۱	۱	۱	-	-	-	-	-	-

یک نمونه شکل موج دریافت شده توسط یکی از آتنها در شکل ۲ نشان داده شده است.

از جدول ۲ می‌توان دریافت که افزایش زمان اوج سیگنال منجر به کاهش باند فرکانسی در پورت سیگنال شده و در نتیجه بر اثر پراکندگی موج، سیگنال منتشر شده با زمان بیشتری به پرورب می‌رسد. آتن‌های S<sub>3</sub> و S<sub>4</sub> به دلیل اینکه نسبت به پورت دارای تقارن پاشند نتایج آنها یکسان است. بر طبق نتایج نشان داده شده در جدول ۳ بدترین جواب‌ها نیز مربوط به این دو آتن می‌باشند.

- در این مقاله روش شبیه سازی که ترانسفورماتور قدرت برای بسیار مکانی با استفاده از روش TDOA روش TDOA باز منبع تخلیه با زمان اوج مقاومت شبیه سازی و در هر مورد با روش TDOA مکانی بن زده شد. بجای بدست آمده با مکان واقعی بسیار ای هر مورد به تفکیک محاسبات لازم انجام گرفت. بجای نشان داد که این روش شبیه سازی بتواند برای این مکان برای آن تنها به منظور تشخیص مکانی ترانسفورماتور واقعی بدون نیاز به آزمایش.
- راجع -
- [8] V. Jeyabalan, S. Usa, "Frequency domain correlation technique for PD location in transformer winding", Dielectrics and Electrical Insulation, IEEE Transactions on, Vol. 26, Issue 3, pp. 2064 - 2065, 2011.
  - [9] S. Markalous, S. Tenbohlen, K. Feser, "Detection and location of partial discharges in power transformers using acoustic and electromagnetic signals", Dielectrics and Electrical Insulation, IEEE Transactions on, Vol. 16, Issue 4, pp. 1160-1167, 2009.
  - [10] J. Tang, Y. Xie, "Partial discharge location based on time difference of energy accumulation curve of multiple signals", Electric Power Applications, IET, Vol. 5, Issue 1, pp. 175-180, 2011.
  - [11] S. A. Ashraf, B. G. Stewart, Ch. Zhou, D. Hepburn, J. M. Jahabar, "Numerical Simulation of Partial Discharge Acoustic signals", High Voltage Engineering and Application, ICHVE, International Conference on, pp. 577-579, 2008.
  - [12] S. Tenbohlen, A. Pfeffer, S. Coenen, "On-site experiences with multi-terminal IEC PD measurements, UHF PD measurements and acoustic PD localization", Electrical Insulation (ISEI), Conference Record of the IEEE International Symposium on, pp. 1-5, 2010.
  - [13] X. Song, Ch. Zhou, D. M. Hepburn, "An Algorithm for Identifying the Arrival Time of PD Pulses for PD Source Location", Electrical Insulation and Dielectric Phenomena, CEIDP, Annual Report Conference on, pp. 379-382, 2008.
  - [14] CIGRE TF15/33.03.05. Partial discharge system for GIS: Sensitivity verification for the UHF method and the acoustic method.
  - [15] Y. Bo; Ch. Xiaolin; S. Xiang; H. Xie, "Study on the aging condition of stator bar based on Ultra-wideband PD detection technique", Properties and Applications of Dielectric Materials, Proceedings of the 7th International Conference on, Vol. 1, pp. 220- 223, 2003.
  - [16] S. Jiancheng; X. Hengkun; Ch. Yonghong, "Study on UWB frequency characteristics of partial discharge as a criterion of aging degree of stator winding insulation", Properties and Applications of Dielectric Materials, Proceedings of the 6th International Conference on, vol.1, pp. 181 - 184, 2000.
  - [17] Ch. Wenzhi, T. Zhiguo, L. Chengrong, Zh. Shusheng, W. Hao, W. Caixiong, L. Ru, Sh. Kang , "Development and application of data analysis software for transformers PD UWB RF location", Electrical Insulation and Dielectric Phenomena (CEIDP), Annual Report Conference on, 2010, pp. 1-4.
  - [1] M. Faifer, R. Ottoboni, S. Toscani, "A measurement system for the on-line diagnostics of power transformer bushings", Applied Measurements for Power Systems (AMPS), IEEE International Workshop on, pp. 80 - 84, 2011.
  - [2] H. Duan, L. Dejun, "Application of improved Elman neural network based on fuzzy input for fault diagnosis in oil-filled power transformers", Mechatronic Science, Electric Engineering and Computer (MEC), International Conference on, pp. 28 - 31, 2011.
  - [3] P. Kang, D. Birtwhistle, "Condition monitoring of power transformer on-load tap-changers. II. Detection of ageing from vibration signatures", Generation, Transmission and Distribution, IEE Proceedings, Vol. 148, Issue 4, pp. 307 - 311, 2001.
  - [4] B. H. Ward, S. A. Lindgren, "Survey of developments in insulation monitoring of power transformers", IEEE Electrical Insulation Magazine, vol. 17, Issue 3, pp. 16-23, 2001 (Pubitemid 32609249).
  - [5] G. C. Stone, "Practical techniques for measuring partial discharge in operating equipment", IEEE Electrical Insulation Magazine, vol. 7, Issue 4, pp. 9-19, 1991.
  - [6] V. Jeyabalan, "Coherent Phase Detection Technique for Location of Partial Discharge in Transformer Windings", Power Delivery, IEEE Transactions on, Vol. 26, Issue 4, pp. 2885 - 2886, 2011.
  - [7] V. Jeyabalan, U. Usa, "Statistical Techniques for Partial-Discharge Location in Transformer Windings", Power Delivery, IEEE

- [18] O. El Mountassir, B. G. Stewart, S. G. McMeekin, A. Ahmadiania , "Effect of sampling rate on the location accuracy of measurements from radiated RF partial discharges signals", Environment and Electrical Engineering (EEEIC), 2012 11th International Conference on, 2012 , pp. 891 - 896.
  - [19] L. Zhou; W. Li, "Characteristic Estimation of Partial Discharge from Its Radiating Signal", Information, Communications and Signal Processing, Fifth International Conference on, pp. 757- 760, 2005.
  - [20] R. Sarathi, A. V. Giridhar, A. Mani and K. Sethupathi, "Investigation of Partial Discharge Activity of Conducting Particles in Liquid Nitrogen under DC voltages using UHF Technique", IEEE Transactions on Dielectrics and Electrical Insulation Vol. 15, No. 3; June 2008.
  - [21] L. Zhou; W. Li; Sh. Su, "The deduction of partial discharge pulse current from its radiating UHF signal", The 7th International Power Engineering Conference (IPEC), pp. 1-193, 2005.
  - [22] D. Denissov, W. Köhler, S. Tenbohlen1, R. Grund, T. Klein, "OPTIMIZATION OF UHF SENSOR GEOMETRY FOR ON-LINE PARTIAL DISCHARGE DETECTION IN CABLE TERMINATIONS", Proceedings of the 16th International Symposium on High Voltage Engineering, 2009 SAIEE, ISBN 978-0-620- 44584-9.
  - [23] A. k. SAWHNEY, "Principles of Electrical Machines Design" Published by J.C, Fifth Edition in 1984.
- [۲۴] م.اخوان حجازی ، گ.قره پیان ، ع.محمدی "اثر روغن بر مانیتورینگ سیم پیچ ترانسفورماتور به کمک امواج الکترومغناطیسی PSC2006" ، آبان ماه ، تهران ، ایران.
- " [ م.اخوان حجازی، گ.قره پیان: ] محوری و شعاعی سیم پیچ ترانسفورماتور بر مبنای مدلسازی الکترومغناطیسی و اندازه گیری"برساله دکتری مهندسی برق - قدرت، شهریور ، تهران، ایران.